

Triode mit Edelgas- und Quecksilberdampfzufüllung

Triode, inert gas and mercury vapor filled

Triode à gaz inerte et à vapeur de mercure

Tríodo con relleno de gases nobles y vapor de mercurio

Glasausführung

Glass type

Exécution verre

Ejecución de vidrio

Kathode

Cathode

Cathode

Cátodo

direkt geheizt

directly heated

à chauffage direct

caldeado directamente

Montageanordnung : senkrecht mit dem Sockel nach unten

Mounting position: Vertical, base down

Disposition de montage: verticale avec culot vers le bas

Disposición de montaje: vertical con casquillo hacia abajo

Gewicht

Approx. net weight

Poids

Peso

0,4 kg

0,88 lbs

a = Anode

Anode

Anode

Anodo

g = Steuergitter

Control grid

Grille de contrôle

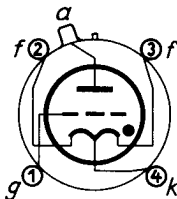
Rejilla de mando

f = Heizung

Filament

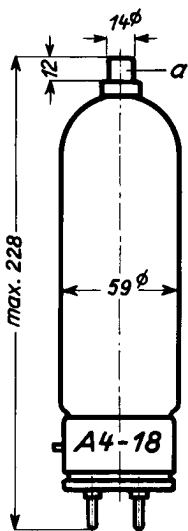
Filament

Filamento

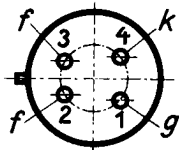


Abmessungen
Dimensions
Dimensions
Dimensions

} mm



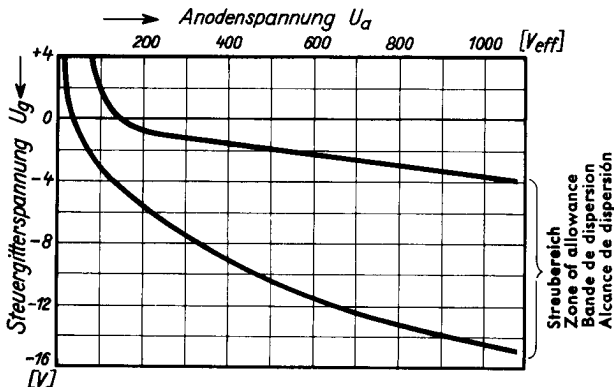
Sockelansicht von unten
Bottom view of base
Culot vu du bas
Casquillo visto desde abajo



Technische Werte Technical data Caractéristiques techniques Datos técnicos

Heizspannung Filament voltage Tension de chauffage Tensión de caldeo	}	U_f 2,5 V
Heizstrom Filament current Courant de chauffage Corriente de caldeo		
Toleranz der Heizspannung Max. permissible filament voltage fluctuation Fluctuation admissible de la tension de chauffage Tolerancia de la tensión de caldeo	}	max. \pm 5%
Anheizzeit Cathode-heating time Temps de chauffage Tiempo de precaldeo		
Anodenspannung (Scheitelwert) Anode voltage rating, forward (crest value) Tension d'anode (valeur de crête) Tensión anódica (valor cresta)	}	U_a max. 1,4 kV
Sperrspannung (Scheitelwert) Anode voltage rating, inverse (crest value) Tension d'arrêt (valeur crête) Tensión inversa (valor cresta)		
Anodenstrom (Scheitelwert) Anode current (crest value) Courant d'anode (valeur de crête) Corriente anódica (valor cresta)	}	$J_{max.}$ 40 A
Anodenstrom (Mittelwert) Anode current (average) Courant d'anode (valeur moyenne) Corriente anódica (valor medio)		
Steuergitterspannung bei gesperrter Röhre (Scheitelwert) Negative control grid bias of non-conducting tube (crest value) Tension grille contrôlée pour tube bloqué (valeur de crête) Tensión de rejilla de mandò con válvula no encendida (valor cresta)	}	U_g max - 250 V

Steuergitterstrom (Scheitelwert) Control grid current (crest value) Courant de grille (valeur de crête) Corriente de rejilla de mando (valor cresta)	}	ig max. 0,1 A		
Steuergitterstrom (Mittelwert) Control grid current (average) Courant de grille (valeur moyenne) Corriente de rejilla de mando (valor medio)		ig max. 0,02 A		
Gitterwiderstand Max. grid resistance Résistance de grille Resistencia de rejilla		}	Rg max. 100 k Ω	
Spannungsabfall an der gezündeten Röhre Voltage drop during conduction Chute de tension (pendant la conduction) Caída de tensión			}	U _B
Integrationszeit Integration time Temps d'intégration Tiempo de integración	}	τ max. 15 sec.		
Jonisationszeit Ionisation time Temps d'ionisation Tiempo de ionización		}	t _i	10 μ sec.
Freiwerdezeit Recovery time Temps de recouvrement Tiempo de recobro	}		bei at	U _g = - 10 V
		à en	U _g = - 100 V	t _r 50 μ sec.
Gitteranoden-Kapazität Grid-anode capacity Capacité anode-grille Capacidad del ánodo de rejilla	}	C _{ag}	4,3 p F ($\mu\mu$ F)	
Eingangs-Kapazität Grid-cathode capacity Capacité d'entrée Capacidad rejilla-filamento		}	C _g	14,4 p F ($\mu\mu$ F)
Ausgangs-Kapazität Anode-cathode capacity Capacité de sortie Capacidad ánodo-filamento	}		C _a	0,013 p F ($\mu\mu$ F)
Umgebungstemperatur Ambient temperature Température ambiante Temperatura de ambiente		}	min. -10° C max. +45° C	



Zündkennlinienbereich bei einer großen Zahl von Röhren gemessen. Zündkennlinie stellt Steuergitterspannung U_g in Abhängigkeit von der Anodenwechselspannung U_a (Effektivwert) am Zündpunkt dar.

Band of ignition characteristics as determined from measurements of a multitude of tubes.

Breakdown characteristic presents grid potential U_g as function of anode voltage (effective) U_a at firing point.

Bande des caractéristiques d'amorçage déterminée sur un grand nombre de tubes. La courbe des caractéristiques d'amorçage représente la tension de grille U_g en fonction de la tension alternative d'anode (valeur effective) au point d'amorçage.

Alcance de las características de ignición determinado en un gran número de válvulas medidas.

La característica de ignición representa la tensión de rejilla de mando U_g en dependencia de la tensión alterna anódica U_a (valor eficaz) en el punto de ignición.